

УДК 533.6.011.72:532.529

© 1994 г.

А. Г. КУТУШЕВ, У. А. НАЗАРОВ

**ЭВОЛЮЦИЯ УДАРНЫХ ВОЛН В ПОЛИДИСПЕРСНЫХ  
ГАЗОВЗВЕСЯХ С НЕОДНОРОДНЫМ РАСПРЕДЕЛЕНИЕМ  
КОНЦЕНТРАЦИИ ЧАСТИЦ**

В настоящее время подробно изучены особенности распространения ударных волн в однородных монодисперсных газовзвесах (см. обзоры [1–3]), но остаются слабо исследованными закономерности распространения волн в неоднородных полидисперсных средах.

В данной работе приведены результаты численного исследования закономерностей распространения ударных волн в полидисперсных (двухфракционных) газовзвесах с неоднородным распределением начальной концентрации частиц. Рассмотрены примеры распространения ударных волн в протяженных слоях газовзвеси с линейно возрастающим, линейно убывающим и синусоидальным законами изменения концентрации частиц. Показано, что при прохождении ударных волн по слоям газовзвеси с возрастающим или убывающим законами изменения концентрации частиц наблюдается соответственно усиление или ослабление волн; при движении ударных волн по газовзвесям с периодическим законом изменения концентрации частиц имеет место немонотонное распределение давлений за фронтами проходящих волн. Сопоставлены решения, соответствующие поли- и монодисперсным газовзвесям с эффективным размером частиц. Приводится сравнение неравновесного и термодинамически равновесного решений.

**1. Основные уравнения.** Пусть имеется смесь газа с твердыми химически инертными взвешенными частицами. Для описания ее движения используются обычные для механики сплошных многофазных сред допущения [1, 2]: расстояния, на которых параметры течения меняются существенно, много больше характерных размеров частиц и расстояний между ними; частицы имеют сферическую форму; взвесь полидисперсная и состоит из двух фракций частиц с сильно различающимися размерами ( $d_2 \ll d_3$ ) и соответственно характерными временами выравнивания скоростей фаз ( $t_{vj} \sim d_j^2$ ;  $j=2; 3$ ;  $t_{v2} \ll t_{v3}$ ); эффекты вязкости и теплопроводности фаз существенны лишь в процессах взаимодействия газа с частицами; деформация, дробление, испарение и столкновение частиц отсутствуют; изменение внутренней энергии смеси, обусловленное работой сил межфазного трения, целиком осуществляется через несущую газовую фазу. При принятых допущениях система уравнений одномерного плоского нестационарного движения двухфракционной газовзвеси может быть представлена в следующем виде:

$$\begin{aligned} \frac{\partial \rho_i}{\partial t} + \frac{\partial \rho_i u_i}{\partial x} &= 0 \quad (i=1; 2; 3) \\ \frac{\partial \rho_1 u_1}{\partial t} + \frac{\partial \rho_1 u_1^2}{\partial x} + \frac{\partial p}{\partial x} &= -F_{12} - F_{13} \\ \frac{\partial \rho_j u_j}{\partial t} + \frac{\partial \rho_j u_j^2}{\partial x} &= F_{1j}; \quad \frac{\partial \rho_j e_j}{\partial t} + \frac{\partial \rho_j e_j u_j}{\partial x} = Q_j \quad (j=2; 3) \end{aligned} \quad (1.1)$$

$$\frac{\partial}{\partial t} \sum_{i=1}^3 \rho_i E_i + \frac{\partial}{\partial x} \sum_{i=1}^3 (\rho_i u_i E_i + \alpha_i p u_i) = 0$$

$$\alpha_i = \frac{\rho_i}{\rho_i^\circ} \left( \sum_{i=1}^3 \alpha_i = 1 \right), \quad E_i = e_i + 0,5 u_i^2 \quad (i=1; 2; 3)$$

Система квазилинейных дифференциальных уравнений в частных производных (1.1) выражает собой запись законов сохранения масс и импульсов фаз, а также уравнений притоков тепла к фазам частиц и закон сохранения полной энергии смеси. Индексы 1, 2 и 3 внизу относятся соответственно к параметрам газовой фазы и двум фракциям дисперсной фазы. Через  $\rho_i$ ,  $\rho_i^\circ$ ,  $\alpha_i$ ,  $u_i$ ,  $e_i$ ,  $E_i$  соответственно обозначены средняя и истинная плотности, объемное содержание, массовая скорость, удельные внутренняя и полная энергии  $i$ -й фазы;  $p$  — давление газа;  $F_{ij}$  и  $Q_{ij}$  — соответственно сила межфазного взаимодействия и интенсивность контактного теплообмена между газом и частицами с диаметром  $d_j$  ( $j=2; 3$ ).

Используются уравнения состояния идеального калорически совершенного газа и несжимаемых твердых частиц

$$p = (\gamma - 1) \rho_1^\circ e_1, \quad e_1 = c_1 T_1 \quad (c_1 = \text{const})$$

$$\rho_j^\circ = \text{const}, \quad e_j = c_j T_j \quad (\rho_2^\circ = \rho_3^\circ; \quad c_2 = c_3; \quad j=2; 3) \quad (1.2)$$

где  $\gamma$  — показатель адиабаты газа;  $c_1$  и  $c_2$  — удельные теплоемкости газа при постоянном объеме и частиц;  $T_i$  — температура  $i$ -й фазы.

Система уравнений (1.1)–(1.2) замыкается путем задания законов межфазного взаимодействия [1, 2]

$$F_{ij} = \frac{\rho_1 \rho_j C_{dj}}{\alpha_1 \rho_j^\circ d_j} |u_1 - u_j| (u_1 - u_j); \quad Q_{ij} = \frac{6 \rho_j \text{Nu}_{ij} \lambda_1 (T_1 - T_j)}{\rho_j^\circ d_j^2} \quad (j=2; 3) \quad (1.3)$$

Здесь  $C_{dj}$  — коэффициент аэродинамического сопротивления частиц, имеющих размер  $d_j$ ;  $\text{Nu}_{ij}$  — число Нуссельта газовой фазы, характеризующее теплообмен между газом и частицами  $j$ -й фракции;  $\lambda_1$  — коэффициент теплопроводности газа. Выражения для  $C_{dj}$  и  $\text{Nu}_{ij}$  задаются в виде следующих зависимостей, учитывающих сжимаемость и стесненность потока [1]:

$$C_{dj} = C_{dj}^\circ (\text{Re}_{ij}) [1 + \exp(-0,427/M_{ij}^{4,68})] \alpha_1^k$$

$$C_{dj}^\circ (\text{Re}_{ij}) = \frac{24}{\text{Re}_{ij}} + \frac{4}{\sqrt{\text{Re}_{ij}}} + 0,4, \quad M_{ij} = \frac{|u_1 - u_j|}{a_1}$$

$$\text{Re}_{ij} = \frac{\rho_1^\circ |u_1 - u_j| d_j}{\mu_1}, \quad a_1^2 = \gamma \frac{p}{\rho_1^\circ}, \quad k = \text{const} \quad (1.4)$$

$$\text{Nu}_{ij} = 2 \exp(-M_{ij}) + 0,459 \text{Re}_{ij}^{0,55} \text{Pr}^{0,33}, \quad \text{Pr} = \frac{\gamma c_1 \mu_1}{\lambda_1} \quad (j=2; 3)$$

В зависимостях (1.4)  $C_{dj}^\circ$  — коэффициент аэродинамического сопротивления одиночной сферической частицы с размером  $d_j$ ;  $M_{ij}$ ,  $\text{Pr}$ ,  $\text{Re}_{ij}$  — соответственно число Маха относительного движения фаз, числа Прандтля и Рейнольдса;  $k$  — коэффициент, учитывающий стесненность потока;  $a_1$ ,  $\mu_1$  — соответственно адиабатическая скорость звука и динамическая вязкость газа.

**2. Постановка задачи и параметры подобия.** В начальный момент времени  $t=0$  в области  $(-\infty < x \leq x_*)$  задано ступенчатое возмущение газа ударной волной; в области  $(x_* < x < +\infty)$  находится неоднородная двухфракционная газовзвесь. Ставится цель — изучить эволюцию входящей в газовзвесь ударной волны в моменты времени  $t > 0$ .

Начальные условия задачи задаются следующим образом

$$\begin{aligned} \frac{\rho_1^\circ(x, 0)}{\rho_{10}^\circ} &= \frac{(\gamma+1)M_0^2}{2+(\gamma-1)M_0^2}, & \frac{u_1(x, 0)}{a_{10}} &= \frac{2}{\gamma+1} \left( M_0 - \frac{1}{M_0} \right) \\ \alpha_1(x, 0) &= 1, & \frac{p(x, 0)}{p_0} &= 1 + \frac{2\gamma}{\gamma+1} (M_0^2 - 1) \quad (-\infty < x \leq x_*) \\ \frac{\rho_1^\circ(x, 0)}{\rho_{10}^\circ} &= 1, & \frac{u_1(x, 0)}{a_{10}} &= \frac{u_j(x, 0)}{a_{10}} = 0, & \frac{p(x, 0)}{p_0} &= 1 \end{aligned} \quad (2.1)$$

$$\begin{aligned} \frac{T_1(x, 0)}{T_0} &= \frac{T_j(x, 0)}{T_0} = 1, & \frac{\rho_{j0}(x, 0)}{\rho_{10}^\circ} &= 1 - \sum_{j=2}^3 \frac{f_j(x)\rho_{10}^\circ}{\rho_j^\circ} \\ \frac{\rho_{j0}(x, 0)}{\rho_{10}^\circ} &= f_j(x) \quad (j=2; 3); & & \quad (x_* < x < +\infty) \end{aligned}$$

Здесь в области  $(-\infty < x \leq x_*)$  записаны соотношения Ренкина — Гюгонио, описывающие состояние газа за ударной волной, интенсивность которой задается числом Маха  $(M_0 = D/a_{10})$ , где  $D$  — скорость волны). Функции  $f_j(x)$  ( $j=2; 3$ ) характеризуют неоднородность газовзвеси. В настоящем исследовании использовались два вида функций  $f_j(x)$

$$f_j(x) = A_j + B_j x; \quad A_j, B_j = \text{const} \quad (2.2)$$

$$f_j(x) = \sin(A_j + B_j x) + C_j; \quad A_j, B_j, C_j = \text{const} \quad (2.3)$$

Сформулированная задача представляет собой задачу Коши для системы квазилинейных дифференциальных уравнений в частных производных (1.1) — (1.4) с начальными условиями (2.1) — (2.3).

Численное интегрирование уравнений (1.1) — (1.4) осуществлялось с использованием следующих безразмерных переменных и параметров подобия:

$$\begin{aligned} P &= \frac{p}{p_0}; & \theta_i &= \frac{T_i}{T_0}; & R_i &= \frac{\rho_i}{\rho_{10}^\circ}; & R_i^\circ &= \frac{\rho_i^\circ}{\rho_{10}^\circ}; & U_i &= \frac{u_i}{a_{10}} \\ H_i &= \frac{e_i}{a_{10}^2}; & W_i &= \frac{E_i}{a_{10}^2}; & \tau &= \frac{t}{t_{v2}} \quad \left( t_{v2} = \frac{\rho_2^\circ d_2^2}{18\mu_1} \right) \end{aligned} \quad (2.4)$$

$$X = \frac{x}{a_{10} t_{v2}} \quad (d_2 < d_3); \quad (i=1; 2; 3)$$

$$\gamma; \quad \delta = \frac{c_2}{c_1}; \quad \text{Pr} = \frac{\gamma c_1 \mu_1}{\lambda_1}; \quad M_0; \quad \varepsilon = \frac{d_2}{d_3}; \quad r = \frac{\rho_2^\circ}{\rho_{10}^\circ}$$

$$\text{Re}_0 = \frac{\rho_{10}^\circ d_2 a_{10}}{\mu_1} = \text{Re}_\Gamma \Psi(\gamma, M_0); \quad \xi_j = B_j t_{v2}; \quad A_j; \quad C_j; \quad k;$$

$$\left( j=2; 3; t_{v2} = t_{v2} a_{10}; \text{Re}_\Gamma = \frac{\rho_{1\Gamma}^\circ u_{1\Gamma} d_2}{\mu_1} \right)$$

$$\Psi(\gamma, M_0) = \frac{[2+(\gamma-1)M_0^2](\gamma-1)}{2(\gamma-1)M_0^2(M_0-1/M_0)}$$

Здесь  $l_{v2}$  — характерная длина зоны выравнивания скоростей фаз (мелких частиц и газа) за ударной волной;  $\rho_{1г}^{\circ}$ ,  $u_{1г}^{\circ}$  — плотность и скорость газа за набегающей на газозвесь ударной волной, которые определяются из соотношений Ренкина — Гюгонио (2.1).

Безразмерные параметры  $\gamma$ ,  $\delta$ ,  $Pr$  в (2.4) характеризуют теплофизические свойства газа и частиц;  $M_0$  и  $Re_0$  задают интенсивность ударной волны и отношение сил инерции к силе вязкого трения, действующих на частицу с размером  $d_2$  в потоке за ударной волной; параметры  $\epsilon$  и  $r$  в (2.4) характеризуют соответственно полидисперсность двухфракционной газозвеси и инерционность частиц; постоянные  $\xi_j$ ,  $A_j$ ,  $C_j$  ( $j=2; 3$ ) определяют степень неоднородности газозвеси; параметр  $k$ , как отмечалось ранее, характеризует стесненность частиц взвеси. Таким образом, в рамках принятой математической модели ударно-волновые течения неоднородных двухфракционных газозвесей описываются 14 параметрами подобия.

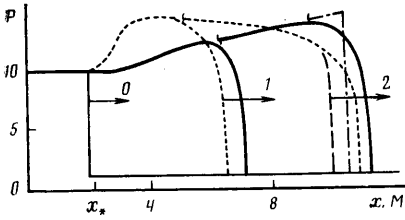
**3. Некоторые результаты расчетов.** Численное решение задачи осуществлялось методом крупных частиц [4] с алгоритмами локализации границ облака крупных и мелких дисперсных частиц взвеси [5–6], для точного счета их движения. Вычисления проводились с помощью ЭВМ ЕС-1066.

Расчеты выполнялись для воздуха и частиц кварцевого песка. При этом использовались следующие значения термодинамических параметров фаз:

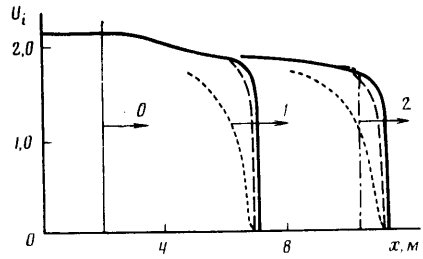
$$\begin{aligned} T_0 &= 293 \text{ К}; \quad p_0 = 0,1 \text{ МПа}; \quad \rho_{10}^{\circ} = 1,21 \text{ кг/м}^3; \quad \gamma = 1,4; \\ c_1 &= 716 \text{ м}^2/(\text{с}^2 \cdot \text{град}); \quad a_{10} = 341 \text{ м/с}; \quad \mu_1 = 1,85 \cdot 10^{-5} \text{ кг}/(\text{м} \cdot \text{с}); \\ \lambda_1 &= 0,026 \text{ кг} \cdot \text{м}/(\text{с}^3 \cdot \text{град}); \quad \rho_2^{\circ} = 2500 \text{ кг/м}^3; \\ c_2 &= 710 \text{ м}^2/(\text{с}^2 \cdot \text{град}); \quad \delta = 0,99; \quad Pr = 0,71; \quad r = 2067; \\ k &= -2,5. \end{aligned}$$

Интенсивность ударной волны задавалась числом Маха  $M_0 = 2,95$ , что соответствует давлению на фронте набегающей волны 1 МПа. Размеры дисперсных частиц в смеси варьировались в диапазоне 10–360 мкм, а соответствующие им характерные времена релаксаций скоростей фаз — в интервале 0,75–972 мс. Для иллюстрируемых ниже результатов расчетов ударно-волновых течений двухфракционных газозвесей с  $d_2 = 60$  и  $d_3 = 360$  мкм в качестве характерных масштабов времени и пространства принимались величины  $t_{v2} = 27$  мс,  $l_{v2} = 9$  м, рассчитанные по  $d_2 = 60$  мкм. При этом параметры подобия  $Re_0 = 1334$  и  $\epsilon = 0,17$  (см. (2.4)). Отношение длин зон релаксации скоростей фаз ( $l_{vj}$  ( $j=2; 3$ )) к протяженности сильного возмущения газа ударной волной ( $l_b \rightarrow \infty$ ) мало ( $l_{vj}/l_b \ll 1$ ). Последнее свидетельствует о том, что рассматриваются длинноволновые возмущения в газозвесьях. Постоянные коэффициенты выбирались следующими:  $A_j = -0,195$ ;  $B_j = 0,1 \text{ м}^{-1}$  ( $\xi_j = 0,9$ ) и  $A_j = 1,27$ ;  $B_j = -0,1 \text{ м}^{-1}$  ( $\xi_j = -0,9$ ) — для формулы (2.2);  $A_j = -10,49$ ;  $C_j = 1,2$ ;  $B_j = 41,76 \text{ м}^{-1}$  ( $\xi_j = -375,84$ ) — для зависимости (2.3) ( $j=2; 3$ ).

На фиг. 1 представлены характерные численные решения, иллюстрирующие эволюцию ударных волн, проникающих в полупространства двухфракционных газозвесей ( $d_2 = 60$ ,  $d_3 = 360$  мкм) с линейным законом изменения начальной концентрации частиц ( $f_j(X) = A_j + \xi_j X$  ( $j=2; 3$ )). Показаны расчетные профили давлений за ударными волнами, распространяющимися по газозвесьям с линейно возрастающим ( $A_j = -0,195$ ;  $\xi_j = 0,9$  — сплошные линии) и с линейно убывающим ( $A_j = 1,27$ ;  $\xi_j = -0,9$  — пунктирные линии) законами распределения исходной средней плотности частиц, на моменты времени 0; 5,46 и 10,92 мс (соответственно кривые 0–2). Штрихпунктирными и штриховыми линиями нанесены пре-



Фиг. 1



Фиг. 2

дельные термодинамически равновесные решения ( $d_2, d_3 \rightarrow 0$ ), соответствующие случаям распространения ударных волн в неоднородных газозвезях с положительным и отрицательным градиентами концентрации частиц. Предельные равновесные решения получены путем численного интегрирования системы уравнений (1.1) при  $u_i = u'_i$ ;  $T_i = T'$  ( $i=1; 2; 3$ ), сведенной к обычным уравнениям газовой динамики для эффективного газа с усложненным уравнением состояния

$$p' = \rho' R' T' = (\Gamma - 1) \rho' e', \quad e' = c' T' \quad (3.1)$$

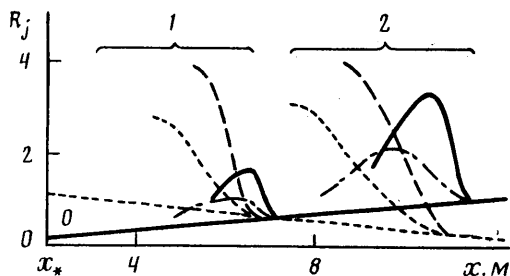
$$\Gamma = (\gamma c_1 m_1 + c_2 m_2 + c_3 m_3) / c', \quad c' = c_1 m_1 + c_2 m_2 + c_3 m_3$$

$$m_1 = \frac{\rho' - \rho_2 - \rho_3}{\rho'}, \quad m_2 = \frac{\rho_2}{\rho'}, \quad m_3 = \frac{\rho_3}{\rho'} \quad (m_1 + m_2 + m_3 = 1)$$

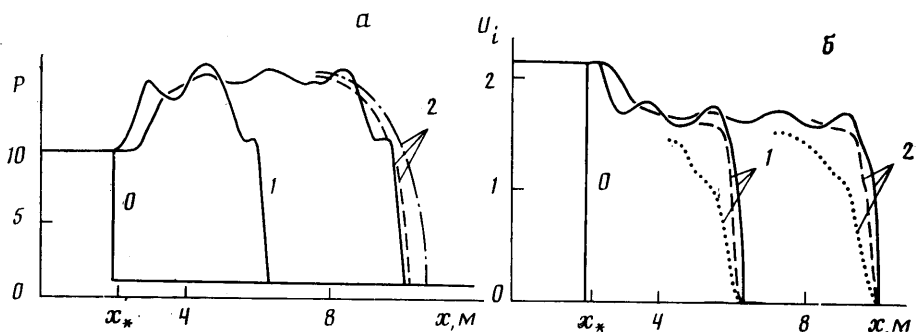
Для нахождения  $\rho_2$  и  $\rho_3$  в (3.1) решались дополнительно два уравнения неразрывности дисперсной фазы в предположении  $u_2 = u_3 = u'$ . Подсчет  $\Gamma$ ,  $c'$ ,  $m_i$  ( $i=1; 2; 3$ ) осуществлялся в каждой точке сплошной среды ( $x$ ) в каждый момент времени ( $t$ ).

При распространении ударных волн по газозвезям с линейно-возрастающим или линейно-убывающим законами изменения начальной концентрации частиц происходит соответственно повышение или понижение интенсивностей волн по давлению (см. фиг. 1). Непрерывный рост и уменьшение давлений за проходящими ударными волнами обусловлены соответственно нарастающим и убывающим тормозящим воздействием на газ, вовлекаемых в движение дисперсных частиц. В случае распространения ударных волн по неоднородным газозвезям с весьма мелкими частицами ( $d_2, d_3 \rightarrow 0$ ) усиление или ослабление волн уплотнения обусловлены соответственно возрастанием или убыванием массы вовлекаемой в движение равновесной газозвези.

Равновесные решения ( $d_2, d_3 \rightarrow 0$ ) удовлетворительно согласуются с неравновесными решениями ( $d_2 = 60$  мкм,  $d_3 = 360$  мкм) в областях течения за ударными волнами, где завершается выравнивание скоростей газа и частиц ( $U_1 - U_j \rightarrow 0$  ( $j=2; 3$ )). Последнее хорошо видно на фиг. 2, где изображены соответствующие фиг. 1 профили скоростей газа (сплошные линии) и частиц (штриховые линии —  $d_2 = 60$  мкм, пунктирные линии —  $d_3 = 360$  мкм) за ударной волной, распространяющейся по газозвезе с положительным градиентом концентрации дисперсной фазы. Моменты времени на фиг. 2 такие же, как и на фиг. 1. Штрихпунктирной линией на фиг. 2 показано термодинамически равновесное решение. Как следует из представленных расчетных зависимостей, несмотря на совпадение равновесных и неравновесных решений в областях течения, где  $U_1 - U_j \rightarrow 0$ , имеется существенное различие решений в областях интенсивной релаксации скоростей фаз за фронтами ударных волн, где  $U_1 - U_j$  велико. В частности, как это видно из фиг. 1–2, на момент движения 10,92 мс



Фиг. 3



Фиг. 4

неравновесное решение заметно отличается от равновесного решения в зоне течения газа и частиц протяженностью порядка 1 м за фронтом ударной волны.

На фиг. 3 продемонстрированы характерные профили средней плотности частиц  $R_j$  ( $j=2; 3$ ) за ударными волнами в неоднородных газовзвесах с линейно возрастающим законом изменения начальной концентрации частиц (сплошные линии —  $d_2=60$  мкм, штрихпунктирные линии —  $d_3=360$  мкм) и с линейно убывающим законом изменения  $R_j(x, 0)$  (штриховые линии —  $d_2=60$  мкм, пунктирные линии —  $d_3=360$  мкм). Кривые 0—2 соответствуют моментам времени 0; 5,46 и 10,92 мс. Параметры газовзвесей,  $R_j(x, 0)$  — такие же, как и на фиг. 1—2.

Из фиг. 3 видно, что распределения средних плотностей частиц  $R_j$  ( $j=2; 3$ ) за ударными волнами в газовзвесах с положительным градиентом концентрации дисперсной фазы отличаются от распределений  $R_j$  в газовзвесах с отрицательным градиентом концентрации частиц. При движении ударной волны по неоднородной газовзвеси с  $\text{grad } R_j(x, 0) < 0$  профили  $R_j$  представляют собой монотонно убывающие функции с максимумом, находящимся на подвижной границе облака частиц  $j$ -й фракции. При распространении ударной волны по газовзвеси с  $\text{grad } R_j(x, 0) > 0$  профили  $R_j$  — немонотонные функции с максимумом, расположенным внутри возмущенной части облака частиц  $j$ -й фракции.

Отмеченные особенности распределений средней плотности частиц за ударными волнами объясняются следующим образом. В случае проникновения ударной волны в облако газовзвеси с  $\text{grad } R_j(x, 0) < 0$  наиболее плотные слои дисперсной фазы, расположенные вблизи левой границы облака, приходят в движение раньше, чем более удаленные от границы облака слои менее плотной газовзвеси. В результате этого плотные слои дисперсной фазы приобретают большую скорость, чем скорость менее плотных слоев газовзвеси. С течением времени из-за такой разности скоростей плотных и менее плотных слоев дисперсной фазы происходит

уплотнение облака частиц. Наибольшее уплотнение частиц будет вблизи границы облака газозвеси.

При проникании ударной волны в газозвесь с  $\text{grad } R_j(x, 0) > 0$  менее плотные слои дисперсной фазы приходят в движение раньше, чем более плотные слои. Соответственно на один и тот же момент движения менее плотные слои газозвеси приобретают большую скорость, чем скорость более плотных слоев. Из-за разности скоростей менее и более плотных слоев газозвеси облако частиц уплотняется. Наиболее интенсивно уплотняются его более плотные и менее ускоренные слои. Однако ввиду того что масса легких слоев облака газозвеси меньше массы его тяжелых слоев, пик плотности частиц реализуется внутри зоны возмущенной газозвеси, где  $\partial(\rho_j u_j)/\partial x < 0$ .

В качестве примера распространения ударных волн в полидисперсных неоднородных газозвесах с периодическим законом изменения начальной концентрации частиц (2.3) приводятся результаты численного исследования процесса эволюции таких волн в двухфракционных газозвесах ( $d_2=60$  мкм,  $d_3=360$  мкм;  $A_j=-10,49$ ;  $\xi_j=375,84$ ;  $C_j=1,2$  ( $j=2; 3$ )). На фиг. 4, а сплошными линиями показаны характерные профили давления за ударной волной в периодически неоднородной газозвеси на моменты времени 0; 5,46; 10,92 мс (см. кривые 0-2). Штриховой линией нанесено решение, соответствующее двухфракционной газозвеси ( $d_2=60$  мкм,  $d_3=360$  мкм) с начальной плотностью частиц, равной среднему по периоду функции  $f_j(X)$  значению  $\langle \rho_{j0}/\rho_{10} \rangle = \langle f_j(X) \rangle = \text{const}$ . Штрихпунктирной линией изображено решение, соответствующее однородной монодисперсной газозвеси с плотностью частиц  $\langle \rho_{j0}/\rho_{10} \rangle$  и эффективным размером частиц

$$d_* = \sqrt{(\rho_{20}d_2^2 + \rho_{30}d_3^2)/(\rho_{20} + \rho_{30})} \quad (3.2)$$

Зависимость (3.2) рекомендована в [7] для описания движений полидисперсных газозвесей за длинноволновыми акустическими возмущениями. Для рассматриваемой смеси  $d_* = 258$  мкм,  $\langle \rho_{j0}/\rho_{10} \rangle = 1,2$ .

Из фиг. 4, а видно, что при распространении ударных волн в газозвесах с периодически возрастающим и убывающим законом изменения концентрации частиц имеет место немонотонное распределение давлений за фронтами ударных волн. Решения для периодически неоднородных и однородных распределений начальной концентрации частиц заметно отличаются друг от друга (см. сплошные и штриховые линии).

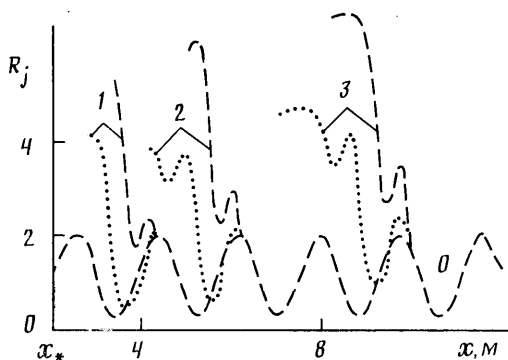
Одинаковая масса взвешенных частиц в газе по-разному влияет на параметры проходящих ударных волн в газозвесах в зависимости от вида закона изменения начальной концентрации дисперсной фазы. Монодисперсная модель газозвеси с эффективным размером частиц (3.2) удовлетворительно описывает ударные волны в двухфракционных смесях (см. штрихпунктирную и штриховую линии на фиг. 4, а).

На фиг. 4, б приведены соответствующие фиг. 4, а профили массовых скоростей фаз (сплошные линии — газ, штриховые линии — частицы с диаметром  $d_2=60$  мкм, пунктирные линии — частицы с размером  $d_3=360$  мкм). Моменты времени такие же, как на фиг. 4, а. Массовая скорость газа и давление за ударной волной изменяются немонотонно. Движение инерционных частиц дисперсной фазы относительно газа за фронтом ударной волны может быть как отстающим ( $U_2 < U_1$ ), так и опережающим ( $U_2 > U_1$ ).

На фиг. 5 изображены соответствующие фиг. 4 распределения средних плотностей частиц двухфракционной газозвеси (штриховые линии —  $d_2=60$  мкм, пунктирные линии —  $d_3=360$  мкм) в пространстве на моменты времени  $t=0; 2,73; 5,46; 10,92$  мс (соответственно кривые 0-3). При распространении волн по газозвесям с периодическим законом изменения

начальной концентрации частиц вдоль координаты  $x$  реализуются немонотонные распределения в пространстве средних плотностей составляющих двухфракционной взвеси. Характерной особенностью этих распределений является наличие «горбиков» на профилях  $R_j(x, t)$ .

Возникновение горбиков плотности дисперсной фазы за проходящими ударными волнами наиболее просто понять при замене синусоидального закона изменения начальной концентрации частиц на пилообразный (линейно-периодический) закон:  $\arcsin(\sin(A_j + B_j x)) + C_j$ . При такой замене функции анализ процесса распространения ударной волны сводится к последовательному рассмотрению эволюции волны уплотнения в аэродисперсной среде с чередующимися линейно возрастающим и линейно убывающим законами изменения начальной концентрации частиц. Процесс



Фиг. 5

распространения ударных волн в газозвесах с линейными законами  $R_j(x, 0)$  подробно описан выше и проиллюстрирован на фиг. 1–3. Совместный анализ фиг. 3 и 5 показывает, что горбики плотности частиц на кривых  $R_j(x, t)$  на фиг. 5 возникают при прохождении ударной волной участков газозвеси с положительным градиентом начальной концентрации дисперсной фазы ( $\partial R_j(x, 0)/\partial x > 0$ ).

#### СПИСОК ЛИТЕРАТУРЫ

1. *Ивандаев А. И., Кутушев А. Г., Нигматулин Р. И.* Газовая динамика многофазных сред. Ударные и детонационные волны в газозвесах // Итоги науки и техники. ВИНТИ. Мех. жидкости и газа. 1981. Т. 16. С. 209–290.
2. *Фомин В. М.* Ударные волны в смесях газ+твердые частицы // Гидродинамика и теплообмен в двухфазных средах: Матер. 2-й Всесоюз. шк. по теплофизике. Новосибирск, Дек., 1981. Новосибирск: Ин-т теплофизики СО АН СССР, 1981. С. 72–80.
3. *Igra O., Ven-Dor G.* Dusty shock waves // Appl. Mech. Rev. 1988. V. 41. P. 379–437.
4. *Белоцерковский О. М., Давыдов Ю. М.* Метод крупных частиц в газовой динамике. М.: Наука, 1982. 391 с.
5. *Губайдуллин А. А., Ивандаев А. И., Нигматулин Р. И.* Модифицированный метод «крупных частиц» для расчета нестационарных волновых процессов в многофазных дисперсных средах // Журн. вычисл. математики и мат. физики. 1977. Т. 17. № 6. С. 1531–1544.
6. *Ивандаев А. И., Кутушев А. Г.* Численное исследование нестационарных волновых течений газозвесей с выделением границ двухфазных областей и контактных разрывов в несущем газе // Численные методы механики сплошной среды. 1983. Т. 14. № 6. С. 58–82.
7. *Гумеров Н. А., Ивандаев А. И.* Распространение звука в полидисперсных газозвесах // ПМТФ. 1988. № 5. С. 115–124.

Тюмень

Поступила в редакцию  
20.IV.1990